

УПРУГАЯ ДЕФОРМАЦИЯ НЕМАТИЧЕСКОГО ЖИДКОГО КРИСТАЛЛА, ИНДУЦИРОВАННАЯ ХИРАЛЬНОЙ ДОБАВКОЙ

А.В. Т о л м а ч е в, А.П. Ф е д о р я к о,
Ю.А. Г р и н ч е н к о, Б.Л. Т и м а н

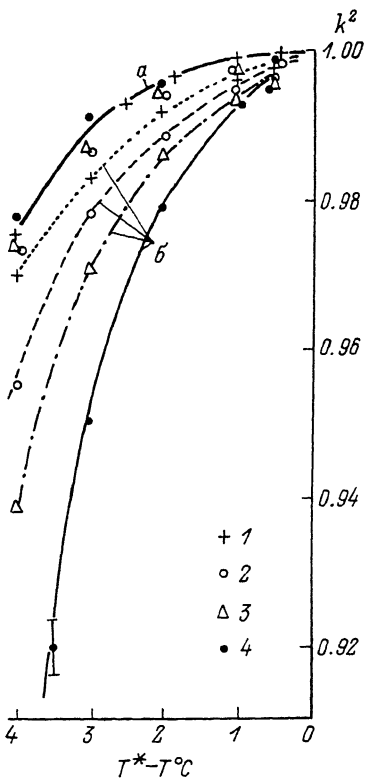
Исследования спиральной структуры, индуцируемой в нематическом жидкокристалле (НЖК) хириальной добавкой (ХД), в настоящее время стимулируются возможностью эффективного мультиплексирования в электрооптике [1]. В связи с этим представляет интерес исследование факторов, определяющих конфигурационные особенности (деформацию директора) индуцированной структуры НЖК. К их числу обычно относят соотношение толщины слоя и шага спирали P , характер ориентации НЖК на граничных поверхностях [2-4]. В настоящей работе мы показываем, что дополнительным источником упругой деформации НЖК могут служить внутренние факторы, в частности диссимметрия ХД и связанные с ней особенности механизма индуцирования.

В статье приводятся результаты исследования спиральной структуры, индуцированной в МББА двумя типами ХД: холестерилпропионатом (ХД₁) и высокоактивными немезогенными производными ζ -2-(x -бензилиден)- n -ментан-3-она ($X=OCH_3$ - ХД₂; NO_2 - ХД₃, C_6H_5 - ХД₄) [5, 6]. Выбор МББА в качестве матрицы диктовался условием проявления максимальной закручивающей способности этих добавок $\beta = P^1 \cdot \dot{\epsilon}^1 (C, \text{ концентрация ХД})$. В ряду указанных ХД значения β изменялись более, чем в шесть раз, составляя 0.07 мкм^{-1} для ХД₁ и 0.44 мкм^{-1} для ХД₄. Высокие значения β позволили вводить немезогенные ХД в минимальных количествах, не изменяя термостабильности и ориентационного порядка матрицы [7].

Для количественной оценки характера упругой деформации определялся модуль K полных эллиптических интегралов $E(k)$ и $K(k)$. Было проведено два эксперимента. В первом K находился по температурным зависимостям ρ в постоянном магнитном поле [8]:

$$\frac{k}{E(k)} = \frac{H_c}{H_c^\circ}. \quad (1)$$

Шаг спирали, измеренный в клине Кано, для которого поле магнита $H_c^\circ = 1.3 \text{ Т}$ было критическим при температуре $T^* = T_u - 4 \text{ }^\circ\text{C}$, подбирался концентрацией ХД ($T_u = 44 \text{ }^\circ\text{C}$ - температура перехода образцов в изотропную жидкость). Напряженность „эффективного“ поля $H = \kappa (K_{22} \cdot \Delta \chi^{-1}) \cdot \rho^{-1}$ вычислялась для $T < T^*$ при известных модуле кручения K_{22} , анизотропии диамагнитной восприимчивости $\Delta \chi$ и шаге P . Температурные зависимости K_{22} и ρ измерялись независимо [6, 7, 9], значение $\Delta \chi$ для МББА взяты из [10].



Температурная зависимость модуля эллиптических интегралов. а - результаты эксперимента по определению шага спирали методом клина Кано, б - результаты ЯМР эксперимента: 1 - ХД₁, 2 - ХД₂, 3 - ХД₃, 4 - ХД₄; шаг спирали Р=11 мкм.

При температуре T^* происходила закрутка матрицы в магнитном поле, а зависимость $k(T)$ отражала ее динамику. Из рисунка (а) следует, что искажение спирали независимо от природы ХД характеризуется в этом случае одним значением k . Как экспериментальный факт для МББА отметим, что температурные зависимости P/P_0 в поле H_c^0 для всех ХД идентичны и по характеру изменения совпадают с универсальной полевой зависимостью шага спирали. Таким образом, по результатам оптического эксперимента параметром искажения спирали является азимутальный угол φ вращения директора \vec{n} , что соответствует

известным представлениям о структуре холестериков.

Во втором эксперименте модуль k вычислялся для чистого (N) и примесного (N^*) МББА методом вторых моментов линии ЯМР ($F = 60$ МГц) [11] :

$$\frac{\langle \Delta f^2 \rangle_{N^*}}{\langle \Delta f^2 \rangle_N} = \left[\left(\rho_2(\vec{n} \cdot \vec{H}) \right)^2 \right] = \frac{3}{2k^4} \left(1 - \frac{E(k)}{K(k)} \right) - \frac{3}{4k^2} + \frac{1}{4}, \quad (2)$$

где скобки [...] обозначают пространственное усреднение на длине $R/12$. Выражение (2) справедливо, если распределение направлений \vec{n} вдоль оси индуцированного закручивания описывается одним углом φ . Использование (2) для обработки результатов ЯМР дает систематически заниженные значения модуля, особенно для высокоактивной ХД₄ (см. рисунок, б). Результаты обоих экспериментов наиболее близки при добавлении в МББА мезогенной ХД₁ с низкой закручивающей способностью.

Наблюдаемые отличия можно объяснить чувствительностью второго момента линии ЯМР в N^* -фазе к отклонению \vec{n} от направления ориентирующего поля не только за счет угла вращения φ ,

но и за счет наклона на угол θ квазинематических слоев при одновременном вращении \vec{n} . Угловой множитель в N^* -фазе будет иметь вид

$$[(P_2(\vec{n} \cdot \vec{H}))^2] = \left[\left(\frac{3}{2} \cos^2 \varphi \cdot \cos^2 \theta - \frac{1}{2} \right)^2 \right]. \quad (3)$$

Для проведения пространственного усреднения необходимо знать зависимость $\theta(z)$. В [12] нами было показано, что изменение спектра ЯМР в N^* -фазе ($\vec{H} \parallel \vec{n}$) при $T < T^*$ обусловлено периодичностью чередования 180° -стенок. Поскольку случаи $\varphi \neq 0$ и $\theta \neq 0$ взаимосвязаны, отношение вторых моментов линии ЯМР должно определяться не только скачком \vec{n} на 180° в стенах, но и периодическим наклоном \vec{n} в системе чередующихся стенок. В простейшем случае можно ожидать, что $\theta = \theta_m \cdot \cos \varphi$, где θ_m – некоторое максимальное значение угла, ψ – дополнительный угол к φ (выбран для удобства расчета). При таком условии явную зависимость от z будет иметь только угол φ , а θ_m является поправочным коэффициентом для согласования результатов оптического и ЯМР экспериментов. Пространственное усреднение углового множителя (3) на длине $R/2 = 2k \xi_2 K(k)$, ξ_2 – магнитная длина когерентности, приводит к следующему выражению:

$$\frac{\langle \Delta f^2 \rangle_{N^*}}{\langle \Delta f^2 \rangle_N} = \frac{1}{4K(k)} \left(\int_0^{\frac{\pi}{2}} \frac{g_\alpha^2 \cos^4 \varphi d\varphi}{\delta} - \int_0^{\frac{\pi}{2}} \frac{6\alpha \cos^2 \theta d\varphi}{\delta} + K(k) \right), \quad (4)$$

где $\delta = (1 - \alpha k^2)^{1/2}$, $\alpha = \sin^2 \psi$.

Оценку величины θ_m получаем численным решением уравнения (4) при „оптическом“ k , найденном из (1). Для $T^* - T = 4^\circ\text{C}$ и одинаковом для всех образцов индуцированном $\rho = 11$ мкм угол $\theta_m (\pm 2^\circ)$ составляет: 5° -ХД₁, 8° -ХД₂ и ХД₃, 12° -ХД₄ и коррелирует с закручивающей способностью добавок [5, 6]. Причина этой связи понятна, так как ХД при встраивании в матрицу нарушает ориентацию контактирующих с ней молекул на расстояниях, превышающих молекулярные размеры [13]. Для индуцирования спиральной структуры необходимо чтобы суперпозиция полей взаимодействия соседних ХД (и, следовательно, передача этого взаимодействия через ориентационный порядок на весь объем НЖК) привела к упругой деформации: при малых концентрациях к комбинации T - и S -мод. Упоминание S -моды требует пояснения. Как известно, в выражение для упругой энергии холестерила не входит член, линейный по пространственным производным $\vec{n} (\sim \partial \vec{n} / \partial \vec{r})$, так как состояния \vec{n} и $-\vec{n}$ считаются неразличимыми. Для спиральной структуры НЖК такое утверждение представляется неочевидным, поскольку эквивалентность состояний \vec{n} и $-\vec{n}$ (эквивалентность пространственной ориентации, не связанной с полярностью молекул) потребовала бы полной корреляции в пространственном расположении ХД и индуцируемых ими областей (размерами L) с нарушенной молекулярной ориентацией. Наряду с закручиванием, самоизгиб НЖК является следствием нелокальности межмолекулярного взаимодействия на

расстояниях $\sim \lambda$ в результате проявления пространственной дисперсии. Гармоническое искажение структуры НЖК (одним из вариантов может быть периодический изгиб оси закручивания [14]) должно вызвать избыточную вязкоудавливовую деформацию в слое. ЯМР эксперимент в этом плане является модельным, так как условия ориентации НЖК задает магнитное поле. По нашему мнению, этот эффект может повлиять на крутизну вольт-контрастной характеристики в ячейках с закруткой более 90° при правильно подобранных углах подвеса \vec{n} и энергии сцепления с подложкой.

Л и т е р а т у р а

- [1] Чилая Г.С., Чигринов В.Г. // Кристаллография. 1988. Т. 33, В. 1. с. 260-270.
- [2] Scheffer T.J. Nehring J. // Appl. Phys. Lett. 1984, v. 45, N 10. P. 1021-1023.
- [3] Raynes E.P. // Mol. Cryst. Liq. Cryst. Lett. 1986. V. 4. N 1. P. 1-8.
- [4] Kumar S. // Mol. Cryst. Liq. Cryst. 1987. V. 144. N 1-4. P. 127-136.
- [5] Немченок И.Б., Кутуля Л.А., Толмачев А.В., Тищенко В.Г. // Журн. физ. химии. 1986. Т. 60. № 3. С. 635-639.
- [6] Толмачев А.В., Лисецкий Л.Н., Кутуля Л.А. Физические основы спирального закручивания холестерической мезофазы. НИИТЭХИМ, М., 1987, 65 с.
- [7] Толмачев А.В., Гринченко Ю.А., Тищенко В.Г. // Кристаллография. 1988. Т. 33. В. 3. С. 788-799.
- [8] De Gennes P.G. // Sol. State Commun. 1968. V. 6. N 1. P. 163-166.
- [9] Толмачев А.В., Кутуля Л.А. // Журнал прикл. спектроскопии. 1987. Т. 47. № 3. С. 509-511.
- [10] De Jen W.H., Claassen W.A.P., Spruijt A.M.J. // Mol. Cryst. Liq. Cryst. 1976. V. 37. N 1-4. P. 269-280.
- [11] Collings P.L. // Physical Review A. 1975. V. 11. N 2. P. 684-690.
- [12] Гринченко Ю.А., Толмачев А.В. // Укр. физ. журн. 1988. Т. 33. № 3. С. 374-377.
- [13] Кизель В.А. // Успехи физ. наук. 1985. Т. 147. В. 3. С. 559-585.
- [14] Ильчишин И.П., Тихонов Е.А., Толмачев А.В., Федоряко А.П., Шпак М.Т. // Укр. физ. журн. 1988. Т. 33. № 10. С. 1492-1494.

Поступило в Редакцию
22 ноября 1988 г.